

Emergent two-Higgs doublet models

Tomohiro Abe

Institute for Advanced Research Nagoya University,
Kobayashi-Maskawa Institute

work in collaboration with

Yuji Omura (KMI)

based on JHEP 1608(2016)021 [arXiv:1606.06537]

PPP2016

2016.9.9

Two-Higgs doublet model (2HDM)

SM の簡素な拡張

- SM + スカラー場 1 つ (SU(2) doublet with $Y = 1/2$)

立場

- BSM へのボトムアップ的アプローチ
- (何らかの模型の低エネルギー有効理論として現れることも)

豊かな現象論

- B physics [Enomoto, Watanabe ('15), ...]
- muon $g-2$ [TA, Sato, Yagyu ('15), ...]
- effect to $h(125)$ couplings [Kanemura, Kikuchi, Yagyu ('15), ...]
- EDM [TA, Hisano, Kitahara, Tobioka ('14), ...]
- ...

3つの人気のある仮定

(1)ソフトに破れた Z_2 対称性

(2)no CP violation in Higgs potential

(3)カストディアル対称性

(1) ソフトに破れた Z_2 対称性

一般に、2つ湯川相互作用が存在。例として down sector をみる。

$$y_{1d}^{ij} \bar{q}_L^i \Phi_1 d_R^j + y_{2d}^{ij} \bar{q}_L^i \Phi_2 d_R^j + (h.c.)$$

質量項と相互作用項

$$\bar{d}^i m_d^{ij} d^j + \bar{d}^i \left(h g_h^{ij} + H g_H^{ij} + H' g_{H'}^{ij} \right) d^j$$

$$m_d^{ij} = y_{1d}^{ij} \frac{v_1}{\sqrt{2}} + y_{2d}^{ij} \frac{v_2}{\sqrt{2}}$$

$$g_h^{ij} = y_{1d}^{ij} \frac{\omega_1^h}{\sqrt{2}} + y_{2d}^{ij} \frac{\omega_2^h}{\sqrt{2}}$$

$$g_H^{ij} = y_{1d}^{ij} \frac{\omega_1^H}{\sqrt{2}} + y_{2d}^{ij} \frac{\omega_2^H}{\sqrt{2}}$$

$$g_{H'}^{ij} = y_{1d}^{ij} \frac{\omega_1^{H'}}{\sqrt{2}} + y_{2d}^{ij} \frac{\omega_2^{H'}}{\sqrt{2}}$$

ω は mixing angle でCPが破れていないときは

$$\omega_1^h = \cos \alpha, \omega_2^h = \sin \alpha,$$

$$\omega_1^H = -\sin \alpha, \omega_2^H = \cos \alpha$$

$$\omega_1^{H'} = 0, \omega_2^{H'} = 0$$

- m を対角化したとき、 g は一般には対角化されない！
- ヒッグスがフレーバーを変える相互作用をする
- $y_{1d} = 0$ または $y_{2d} = 0$ なら、これを避けられる！
- Z_2 対称性で $y_{1d} = 0$ または $y_{2d} = 0$ を実現可能！

(2) ヒッグスポテンシャル

$$\begin{aligned} & m_1^2 \Phi_1^\dagger \Phi_1 + m_2^2 \Phi_2^\dagger \Phi_2 - \left(m_3^2 \Phi_1^\dagger \Phi_2 + (h.c.) \right) \\ & + \frac{1}{2} \lambda_1 (\Phi_1^\dagger \Phi_1)^2 + \frac{1}{2} \lambda_2 (\Phi_2^\dagger \Phi_2)^2 + \lambda_3 (\Phi_1^\dagger \Phi_1) (\Phi_2^\dagger \Phi_2) + \lambda_4 (\Phi_1^\dagger \Phi_2) (\Phi_2^\dagger \Phi_1) \\ & + \left(\frac{1}{2} \lambda_5 (\Phi_1^\dagger \Phi_2)^2 + \lambda_6 (\Phi_1^\dagger \Phi_1) (\Phi_1^\dagger \Phi_2) + \lambda_7 (\Phi_2^\dagger \Phi_2) (\Phi_1^\dagger \Phi_2) + (h.c.) \right) \end{aligned}$$

複素パラメータ : $m_3, \lambda_5, \lambda_6, \lambda_7$

ソフトに破れた Z_2 対称性で落ちる項 : λ_6, λ_7

(m_3 は Z_2 対称性をソフトに破る項)

CP が破れていると

- 中性スカラー 3 つが混合する
- CPを破るフレーバー物理への影響 (EDMなど)
- ...

(3) カストディアル対称性

ρ パラメータからの制限

- BSM は custodial 対称性をもたないと、厳しく制限される

2HDMのときの custodial symmetry

singlets: h, H

triplets: $(\pi^0, \pi^+, \pi^-), (A^0, H^+, H^-)$

A^0 と H^\pm の質量は縮退しているべきだが、一般にそうになっていない

$$m_A^2 - m_{H^\pm}^2 = \frac{\lambda_4 - \lambda_5}{2} v^2 \quad (\text{簡単のため } Z_2 \text{ 対称性と CP 対称性を仮定したときの公式})$$

なので、多くの場合 $\lambda_4 \sim \lambda_5$ を仮定する

3つの人気のある仮定

- (1) ソフトに破れた Z_2 対称性
- (2) no CP violation in Higgs potential
- (3) カストディアル対称性

これら3つの仮定は

- 単なる仮定。2HDM の範囲内では正当化できない
- 3つも仮定があるのには心理的抵抗がある
- 正当化できたらうれしい

我々がやったこと

- 電弱対称性を拡張： $SU(2) \times U(1) \rightarrow SU(2) \times SU(2) \times U(1)$
- 2HDM を低エネルギー有効理論として導出
- 3つの仮定は gauge symmetry から自動的に出てくる！

Model

おさらい: SM Higgs の行列表現

$$H = 1_{2 \times 2} \sigma + i\tau^a \pi^a = \begin{pmatrix} \sigma + i\pi^3 & i\sqrt{2}\pi^+ \\ i\sqrt{2}\pi^- & \sigma - i\pi^3 \end{pmatrix}$$

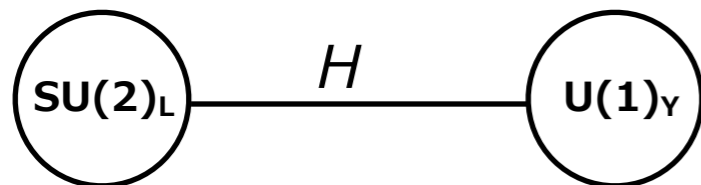
ヒッグスポテンシャル

$$V(H) = \mu^2 \text{tr}(H^\dagger H) + \lambda \text{tr}(H^\dagger H)^2$$

ゲージ対称性

$$H \rightarrow [\text{SU}(2)_L] H [\text{U}(1)_Y^\dagger] \quad \begin{aligned} [\text{SU}(2)_L] &= e^{iT^a \theta_L^a} \\ [\text{U}(1)_Y] &= e^{iT^3 \theta_Y} \end{aligned}$$

(ムース記法)



ポテンシャルがもつグローバル対称性

$$H \rightarrow [\text{SU}(2)_L] H [\text{SU}(2)_R^\dagger] \quad [\text{SU}(2)_R] = e^{iT^a \theta_R^a}$$

カストディアル対称性 ($\theta_L = \theta_R \equiv \theta_V$)

$$H \rightarrow [\text{SU}(2)_V] H [\text{SU}(2)_V^\dagger]$$

$SU(2)_0 \times SU(2)_1 \times U(1)_2 \rightarrow U(1)_{\text{QED}}$

[TA - Kitano (2013)]

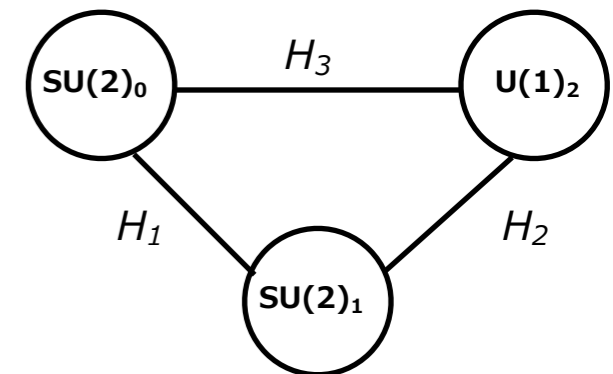
	SU(2)	SU(2)	U(1)
q	2	1	1/6
u	1	1	2/3
d	1	1	-1/3
ℓ	2	1	-1/2
e	1	1	-1
H	2	1	1/2
H	2	2	0
H	1	2	1/2

ゲージ対称性

$$H_1 \rightarrow [SU(2)_0] H_1 [SU(2)_1^\dagger]$$

$$H_2 \rightarrow [SU(2)_1] H_2 [U(1)_2^\dagger]$$

$$H_3 \rightarrow [SU(2)_0] H_2 [U(1)_2^\dagger]$$



ポテンシャルがもつべきグローバル対称性

$$H_1 \rightarrow [SU(2)_0] H_1 [SU(2)_1^\dagger]$$

$$H_2 \rightarrow [SU(2)_1] H_2 [SU(2)_2^\dagger]$$

$$H_3 \rightarrow [SU(2)_0] H_2 [SU(2)_2^\dagger]$$

カストディアル対称性

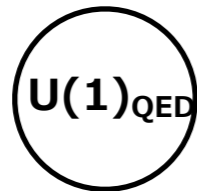
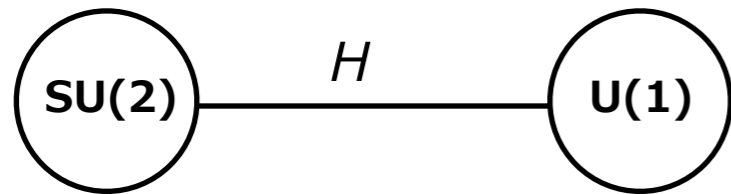
$$SU(2)_0 = SU(2)_1 = SU(2)_2$$

$$H_j = \sigma_j 1_{2 \times 2} + i\tau^a \pi_j^a = \begin{pmatrix} \sigma_j + i\pi_j^3 & i\pi_j^+ \\ i\pi_j^- & \sigma_j - i\pi_j^3 \end{pmatrix}$$

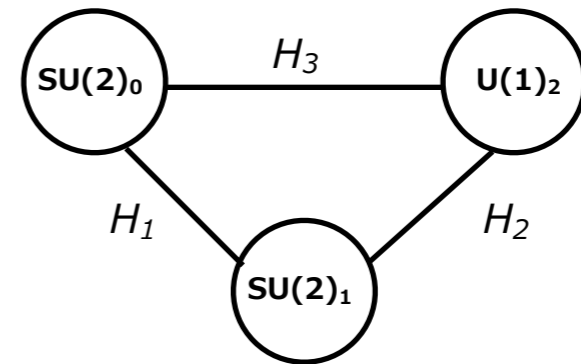
(σ_j and π_j^a are real, not complex.)

2HDM がでてくる直感的理解

SM



今考えている模型



$v_1 \gg v_2, v_3$



2HDM

ヒッグスポテンシャルへの準備

building block

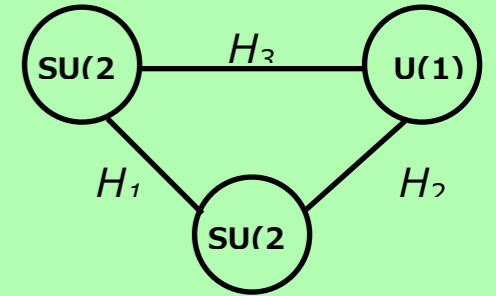
- $\text{tr}(H_i^\dagger H_i)$
- $\text{tr}(H_3^\dagger H_1 H_2)$
- $\text{tr}(H_3^\dagger H_1 H_2 \tau^3)$

gauge sym.

$$H_1 \rightarrow [\text{SU}(2)_0] H_1 [\text{SU}(2)_1^\dagger]$$

$$H_2 \rightarrow [\text{SU}(2)_1] H_2 [\text{U}(1)_2^\dagger]$$

$$H_3 \rightarrow [\text{SU}(2)_0] H_2 [\text{U}(1)_2^\dagger]$$



Note

- $\text{tr}(H_3^\dagger H_1 H_2)$ is real, $(\text{tr}(H_3^\dagger H_1 H_2))^* = \text{tr}(H_3^\dagger H_1 H_2)$
- $\text{tr}(H_3^\dagger H_1 H_2 \tau^3)$ is pure imaginary, $(\text{tr}(H_3^\dagger H_1 H_2 \tau^3))^* = -\text{tr}(H_3^\dagger H_1 H_2 \tau^3)$
(成分にばらして直接計算すれば示せる)

$\text{tr}(H_3^\dagger H_1 H_2 \tau^3)$ は redundant

(1) 項の書き換え

$$\kappa'_1 \text{tr}(H_1 H_2 H_3^\dagger) + i\kappa'_2 \text{tr}(H_1 H_2 \tau^3 H_3^\dagger) = \kappa \text{tr}(H_1 H_2 \exp(i\tau^3 \theta_\kappa) H_3^\dagger)$$

(2) H_2 の再定義

$$H_2 \exp(i\tau^3 \theta_\kappa) \rightarrow H_2$$

$$\kappa = \sqrt{\kappa_1'^2 + \kappa_2'^2}, \quad \cos \theta_\kappa = \frac{\kappa_1'}{\sqrt{\kappa_1'^2 + \kappa_2'^2}}, \quad \sin \theta_\kappa = \frac{\kappa_2'}{\sqrt{\kappa_1'^2 + \kappa_2'^2}}$$

(3) 結果として、 $\text{tr}(H_3^\dagger H_1 H_2 \tau^3)$ の項は消せる

$$\kappa'_1 \text{tr}(H_1 H_2 H_3^\dagger) + i\kappa'_2 \text{tr}(H_1 H_2 \tau^3 H_3^\dagger) \rightarrow \kappa \text{tr}(H_1 H_2 H_3^\dagger)$$

ヒッグスポテンシャル

$$\begin{aligned} V(H_1, H_2, H_3) = & \mu_1^2 \text{tr}(H_1^\dagger H_1) + \mu_2^2 \text{tr}(H_2^\dagger H_2) + \mu_3^2 \text{tr}(H_3^\dagger H_3) \\ & + \kappa \text{tr}(H_3^\dagger H_1 H_2) \\ & + \tilde{\lambda}_1 \left(\text{tr}(H_1^\dagger H_1) \right)^2 + \tilde{\lambda}_2 \left(\text{tr}(H_2^\dagger H_2) \right)^2 + \tilde{\lambda}_3 \left(\text{tr}(H_3^\dagger H_3) \right)^2 \\ & + \tilde{\lambda}_{12} \text{tr}(H_1^\dagger H_1) \text{tr}(H_2^\dagger H_2) + \tilde{\lambda}_{23} \text{tr}(H_2^\dagger H_2) \text{tr}(H_3^\dagger H_3) + \tilde{\lambda}_{31} \text{tr}(H_3^\dagger H_3) \text{tr}(H_1^\dagger H_1) \end{aligned}$$

building block

- $\text{tr}(H_i^\dagger H_i)$
- $\text{tr}(H_3^\dagger H_1 H_2)$

note

- $\text{tr}(H_3^\dagger H_1 H_2)$ is real
- κ is real

custodial symmetric !

no CPV !

softly broken Z_2 symmetric !

- symmetric ($H_i \rightarrow -H_i$)
- broken only by dim.3 op. ($\text{tr}(H_3^\dagger H_1 H_2)$)

この模型

ヒッグスポテンシャルの性質

- ソフトに破れた Z_2 対称性を持つ
- CP を破る項の不在
- カストディアル対称性が存在する

これらは全てゲージ対称性のおかげ！

仮定の数

two-Higgs doublet model

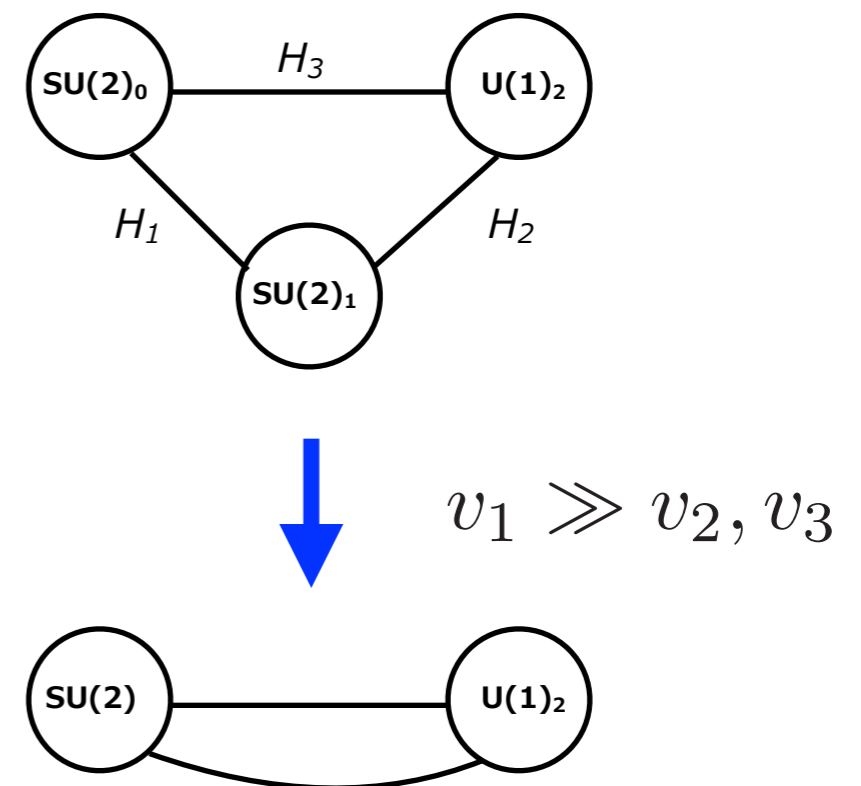
(0) 2HDM

- (1) ソフトに破れた Z_2 対称性
- (2) CP をポテンシャルで破らない
- (3) カストディアル対称性

our model

(0) $SU(2) \times SU(2) \times U(1)$

(1) $v_1 \gg v_2, v_3$



Yukawa sector in 2HDM

湯川相互作用 in 2HDM

ソフトに破れた Z_2 対称性の下では、4つのバリエーションがある [Aoki et.al. '09]

type-I: $q_L H_2 u_R + q_L H_2 d_R + l_L H_2 e_R$

type-II: $q_L H_2 u_R + q_L H_1 d_R + l_L H_1 e_R$

type-X (lepton-specific) : $q_L H_2 u_R + q_L H_2 d_R + l_L H_1 e_R$

type-Y (flipped) : $q_L H_2 u_R + q_L H_1 d_R + l_L H_2 e_R$

このモデルではどうなっているのか見ていく

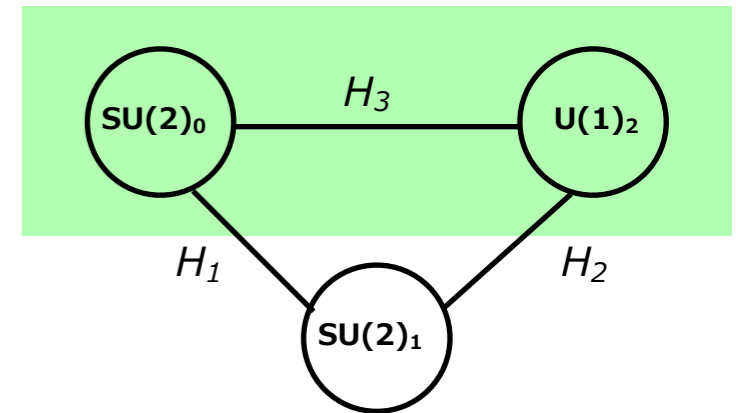
湯川相互作用

	SU(2)	SU(2)	U(1)
q	2	1	1/6
u	1	1	2/3
d	1	1	-1/3
ℓ	2	1	-1/2
e	1	1	-1
H	2	1	1/2
H	2	2	0
H	1	2	1/2

湯川相互作用

$$\bar{q}_L H_3 \begin{pmatrix} y_u & 0 \\ 0 & y_d \end{pmatrix} \begin{pmatrix} u_R \\ d_R \end{pmatrix} + \bar{\ell}_L H_3 \begin{pmatrix} 0 & 0 \\ 0 & y_e \end{pmatrix} \begin{pmatrix} 0 \\ e_R \end{pmatrix} + (h.c.)$$

- **type-I 2HDM**
- 他のタイプの2HDMのためには湯川セクターの拡張が必要



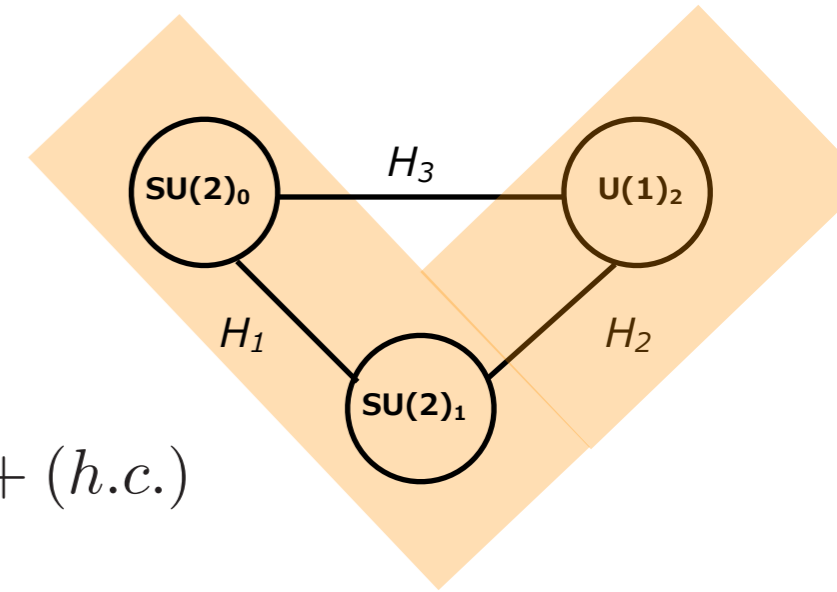
湯川セクターの拡張

湯川相互作用

$$\bar{q}_L H_3 \begin{pmatrix} y_u & 0 \\ 0 & y_d \end{pmatrix} \begin{pmatrix} u_R \\ d_R \end{pmatrix} + \bar{\ell}_L H_3 \begin{pmatrix} 0 & 0 \\ 0 & y_e \end{pmatrix} \begin{pmatrix} 0 \\ e_R \end{pmatrix}$$

上記以外にかける湯川相互作用

$$\frac{1}{\Lambda} \bar{q}_L H_1 H_2 \begin{pmatrix} y'_u & 0 \\ 0 & y'_d \end{pmatrix} \begin{pmatrix} u_R \\ d_R \end{pmatrix} + \frac{1}{\Lambda} \bar{\ell}_L H_1 H_2 \begin{pmatrix} 0 & 0 \\ 0 & y'_e \end{pmatrix} \begin{pmatrix} 0 \\ e_R \end{pmatrix} + (h.c.)$$



模型の拡張が必要

- 次元 5 の演算子の起源?
- type-II, -X, -Y のためにはいくつかの項を禁止する必要あり
(type-II: $y_d = y_e = y'_u = 0$)

論文で議論したこと

- vector-like fermions を導入
- global $U(1)$ を導入

Summary

まとめ

- **2HDMでは、人気のある仮定が3つある**
 - ★ ソフトに破れた Z_2 対称性
 - ★ CP位相がヒッグスポテンシャルに存在しない
 - ★ カストディアル対称性 ($m_A = m_{H^\pm}$)
- **3つの仮定は電弱対称性を拡張したモデルから自動的に出てくる**
 - ★ ゲージ対称性のおかげ
 - ★ 人気のある4タイプ (type-I, -II, -X, and -Y) 全て実現可能

